

ارزیابی روش‌های مختلف تعیین تنش برشی بستر در پیچ تند کanal با توپوگرافی توسعه یافته

جواد مظفری^{۱*}، ابراهیم امیری تکلدانی^۲، مهدی خادمی^۳

۱- استادیار گروه مهندسی آب، دانشگاه اراک

۲- استادیار گروه آبیاری دانشگاه تهران

۳- دانشجوی دکتری سازه‌های آبی، پردیس کشاورزی، دانشگاه تهران

* اراک، صندوق پستی ۸۷۹

Javad_370@yahoo.com

چکیده- تنش برشی بستر یکی از پارامترهای مهم در بررسی جریان رودخانه‌ها بوده و نقش مهمی در تعیین الگو و میزان فرسایش و انتقال رسوب دارد. در نتیجه، تعیین مقدار آن در نقاط مختلف مطالعات گستردۀ در باره مقدار و نحوه مجاورت بستر و دیوارهای ساحلی اهمیت بهسزایی دارد. علی‌رغم مطالعات گستردۀ در باره مقدار و نحوه توزیع تنش برشی بستر در مجاری مستقیم و نیز در پیچ رودخانه‌ها، به‌دلیل پیچیدگی‌های پیچ رودخانه، انجام تحقیقات بیشتری در این زمینه ضروری به‌نظر می‌رسد. در این مقاله، به بررسی روش‌های مختلف تعیین تنش برشی بستر با استفاده از سرعت‌های متوسط و لحظه‌ای به‌دست آمده با دستگاه ADVP، پرداخته شده است. این روش‌ها که مهمترین آنها روش تنش برشی رینولدز، روش انرژی جنبشی آشفتگی و روش پروفیل لگاریتمی سرعت است، تاکنون در پیچ تند کanal، مقایسه نشده‌اند. نتایج حاصل از آزمایش‌های انجام شده روی کanal آزمایشگاهی قوسی شکل با زاویه مرکزی برابر ۱۹۳ درجه با توپوگرافی توسعه یافته، نشان می‌دهد که جریان سه‌بعدی قوی، الگوهای تنش‌های رینولدز را نسبت به الگوهای موجود در کanal مستقیم، کاملاً تغییر می‌دهد، به‌طوری‌که این الگوها نظم مشخصی را برای تعیین صحیح تنش برشی بستر نشان نمی‌دهند. از سوی دیگر، پروفیل‌های سرعت طولی، به‌دلیل تاثیر سلول‌های جریان ثانویه، یکنواخت‌تر از پروفیل لگاریتمی سرعت بوده و در نتیجه استفاده از روش لگاریتمی نیز تا حدودی دارای عدم اطمینان می‌باشد. به هر حال نتایج نشان می‌دهد که روش لگاریتمی برای تعیین تنش برشی بستر، جواب‌های مناسب‌تری را نسبت به دیگر روش‌های مورد بررسی در این تحقیق ارائه می‌دهد.

کلیدواژگان: تنش برشی بستر، تنش رینولدز، توزیع لگاریتمی سرعت، انرژی جنبشی آشفتگی، پیچ تند.

آبراهه پهن است. ادگارد و برگز^{۱۱} (۱۹۸۸) به مطالعه جریان در کanal ۱۸۰ درجه با توپوگرافی کف طبیعی ماسه‌ای و سواحل شیبدار ثابت پرداخته و اظهار کردند که هسته دارای بیشینه سرعت، به سمت ساحل خارجی حرکت کرده و در حدود ۹۰ درجه به ساحل خارجی می‌رسد. بلانکارت و گراف^{۱۲} (۲۰۰۲) در کanal با کف افقی ماسه‌ای و سواحل عمودی ۱۲۰ درجه، جریان آشفته و زیر را بررسی کرده و سلول ساحل خارجی جریان ثانویه را که حرکتی در خلاف سلول اصلی جریان ثانویه دارد مشاهده کردند. دوآرت^{۱۳} (۲۰۰۸) آزمایشها را برای بررسی تاثیر زیری ساحل خارجی بر الگوی جریان در کanal مستطیلی با پیچ در کanal ۱۹۳ درجه انجام داد و چنین بیان کرد که با افزایش زیری، سلول عرضی ساحل خارجی پهن‌تر و قوی‌تر می‌شود. ون بالن^{۱۴} و همکاران (۲۰۱۰) با مقایسه روش‌های RANS^{۱۵} و LES^{۱۶} با داده‌های آزمایشگاهی در فلومی با پیچ تند ۱۹۳ درجه، بیان کردند که مدل RANS دارای پیش‌بینی بالایی برای تنش‌برشی بستر نسبت به مدل LES است.

در زمینه اندازه‌گیری و تخمین تنش‌برشی، روش‌های متعددی ارائه شده است. معمول‌ترین روش برای تخمین تنش‌برشی در رودخانه‌ها، استفاده از تنش‌برشی متوسط گیری شده است که به صورت زیر تعریف می‌شود (شیلیختین^{۱۷}، ۱۹۸۷):

$$\tau_0 = \rho g R S_f \quad (1)$$

در این رابطه τ_0 تنش‌برشی کل، ρ چگالی آب، g شتاب ثقل، R شعاع هیدرولیکی مقطع کanal و S_f شب

11. Odgaard & Bergs

12. Blanckaert & Graf

13. Duarte

14. Van Balen et al.

15. Reynolds-averaged Navier–Stokes

16. Large eddy simulation

17. Schilichting

۱- مقدمه

پیچ‌های رودخانه بخش مهمی از رودخانه را تشکیل داده و با گذر زمان تغییرات وسیعی در آنها ایجاد می‌شود. بوژینسک^۱ (۱۸۶۸) و تامسون^۲ (۱۸۷۶) نخستین بار پیچ رودخانه را مطالعه کردند (روزوفسکی^۳، ۱۹۵۷). در زمینه مدل‌های جریان، جانسن و پارکر^۴ (۱۹۸۹) رابطه‌ای را برای سرعت طولی پیشنهاد کردند. بریچ^۵ (۱۹۹۲) برای سرعت طولی در جریان ماندگار رابطه‌ای را ارائه کرد. در مدل‌سازی‌های سه‌بعدی جریان، منصوری (۱۳۸۵)، به شبیه‌سازی عددی تغییرات بستر در قوس ۱۸۰ درجه پرداخت. همچنین وو^۶ و همکاران (۲۰۰۰)، روتر و السن^۷ (۲۰۰۵)، زنگ و همکاران^۸ (۲۰۰۸) و خسرونوژاد و همکاران (۲۰۰۸) در زمینه مدل‌سازی سه‌بعدی جریان تحقیقاتی را انجام دادند.

از سوی دیگر مطالعات آزمایشگاهی قابل توجهی در بارهٔ خم‌ها انجام شده است. زیمرمن^۹ (۱۹۷۷) رابطه‌ای را برای زاویه بین تنش‌برشی جریان اصلی و تنش‌برشی عرضی و زیری در پیچ ارائه کرد. دوریند^{۱۰} (۱۹۷۷) با استفاده از توزیع لگاریتمی سرعت برای سرعت جریان اصلی، توزیع عمقی سرعت جریان ثانویه را برای آبراهه‌های انحنیدار کم‌عمق به دست آورد. چودری و نارسیمهان^{۱۱} (۱۹۷۷) ویژگیهای حرکت چرخشی و تنش‌برشی بستر را بررسی و بیان کردند که حداقل تنش‌برشی بستر در جدار خارجی، در ۹۰ درجه به دست می‌آید و در آبراهه باریک، رشد جریان چرخشی سریعتر بوده و قدرت آن بیشتر از

1. Boussinesq

2. Thomson

3. Rosovskii

4. Johnson & Parker

5. Bridge

6. Wu et al

7. Ruther and Olsen12 Zeng et al

8. Zimmerman

9. De Vriend

10. Choudary & Narasimhan

نیز نبود دقت کافی، این روش تا سال‌های اخیر به‌طور گسترده‌ای استفاده نمی‌شد. توسعه وسایل اندازه‌گیری مانند ADV^۳، اندازه‌گیری نوسانهای سرعت را در سه بعد در فرکانس‌های بالا با خطای کم امکان‌پذیر ساخته است. این روش نسبتاً حساس بوده و برای استفاده از این روش می‌توان به دو روش عمل کرد. در روش اول هنگامی که پروفیل آشفتگی اندازه‌گیری می‌شود، تنش‌برشی کف از برونيابی توزیع عمودی تنش‌برشی رینولدز به‌دست می‌آید. در روش دوم از اندازه‌گیری‌های نقطه‌ای استفاده می‌شود، بدین معنا که یک نقطه در نزدیکی کف در نظر گرفته شده و مقادیر نوسانهای سرعت طولی و عمودی در آن نقطه به‌دست آمده و سپس تنش‌برشی بستر از روی آنها محاسبه می‌شود. به‌دلیل آن که معمولاً دستگاه ADV توانایی اندازه‌گیری صحیح سرعت در نزدیکی کف و محدوده قابل ذکر را ندارد، نقطه مورد اندازه‌گیری نباید پایین‌تر از ۱۰ درصد عمق جریان باشد (پاسکال^۴، ۲۰۰۴).

روش انرژی جنبشی آشفتگی^۵ TKE نیز روش دیگری است که با استفاده از سه جزء سرعت به‌دست می‌آید (کیم^۶ و همکاران، ۲۰۰۰):

$$\tau_0 = C_1 \left[0.5 \rho \left(\overline{u'^2} + \overline{v'^2} + \overline{w'^2} \right) \right] \quad (5)$$

که در آن C_1 ضریبی تقریباً ثابت برابر 0.19 است. کیم و همکاران (۲۰۰۰) روش اصلاح شده‌ای را که در آن فقط از نوسانهای عمودی سرعت استفاده می‌شود، پیشنهاد کردند. مزیت این روش آن است که خطای مربوط به نویز دستگاه اندازه‌گیری ADV برای نوسانهای عمودی کمتر از نوسانهای افقی است. در این روش:

$$\tau_0 = C_2 \rho \overline{w'^2} \quad (6)$$

خط انرژی است. تنش‌برشی موضعی از رابطه لگاریتمی بین سرعت و سرعت برشی به‌دست می‌آید (شیلیختین، ۱۹۸۷):

$$\frac{u}{u_*} = \frac{1}{\kappa} \ln \left(\frac{z}{Z_0} \right) \quad (2)$$

در این رابطه Z ارتفاع بالای کف و Z_0 مشخصه طول زبری، u سرعت در ارتفاع Z و u_* سرعت برشی و κ ضریب فن‌کارمن تقریباً برابر 0.41 است. این روش به‌طور وسیعی استفاده می‌شود، اما مقداری عدم‌قطعیت دارد. از جمله این که فقط بخشی از پروفیل سرعت لگاریتمی بوده و مشخصه طول زبری نیز با عدم قطعیت قابل توجهی پیش‌بینی می‌شود که تأثیر بالایی بر تخمین تنش‌برشی بستر خواهد داشت. همچنین در خم، پروفیل سرعت به‌علت نیروی گریز از مرکز قوی - با پروفیل سرعت در کanal مستقیم تفاوت دارد.

روش دیگر برای تخمین تنش‌برشی، استفاده از قانون مربع تنش^۱ است که تنش‌برشی متوسط در کف را به مربع سرعت مرتبط می‌سازد (شیلیختین، ۱۹۸۷):

$$\tau_0 = \rho C_d U^2 \quad (3)$$

در این رابطه C_d ضریب دراگ و U سرعت متوسط است. مشکل اصلی در این روش آن است که ضریب دراگ ثابت نبوده و تخمین دقیق مقدار آن مشکل است.

در صورتی که اندازه‌گیری‌های آشفتگی در دست باشد، تنش‌برشی موضعی می‌تواند از تنش‌رینولدز تعیین شود (نزو و ناکاگاوا^۲، ۱۹۹۳):

$$\tau_0 = -\rho \overline{u' w'} \quad (4)$$

در رابطه (۴)، u' و w' به ترتیب نوسانهای سرعت‌های طولی و عمودی است. به‌دلیل دشواری در اندازه‌گیری و

3 Acoustic Doppler Velocimeter

4. Pascal et al.

5. Turbulent Kinematic Energy

6. Kim et al.

1. Quadratic stress law
2. Nezu & Nakagawa

در خم وجود نداشته است. الگوی جریان در کanal مستقیم با توجه به ضعیف بودن جریان عرضی با مشخصات جریان سه‌بعدی در پیچ متفاوت خواهد بود.

با توجه به اینکه اندازه‌گیری تنش‌برشی بستر در پیچ‌ها مورد توجه اندکی بوده است، ضروری به نظر می‌رسد که روش‌های مورد استفاده در کanal مستقیم مطالعه و بهترین روش برای استفاده در پیچ تعیین شود. هدف از این تحقیق، بررسی روش‌های تعیین تنش‌برشی بستر در پیچ کanal و انتخاب بهترین روش برای اندازه‌گیری تنش‌برشی بستر در پیچ است تا بتوان از آن برای ارتباط دادن بین الگوی جریان و فرایند استفاده کرد.

۲- مواد و روش‌ها

آزمایشها در کanal آزمایشگاه دانشگاه EPFL در کشور سوئیس انجام شد. این کanal با کف افقی، دارای عرض ۱/۳ متر و پیچ ۱۹۳ درجه است. شکل ۱ طرحی از کanal را نشان می‌دهد. جریان از مخزن به حوضچه ورودی کanal به طول ۲ متر وارد شده و با گذر از بخش مستقیم کanal به طول ۹ متر -که هدف از ساخت آن ایجاد جریان توسعه‌یافته می‌باشد- به پیچ ثابتی به عمق ۰/۸۵ متر و شعاع انحنای ۱/۷ متر می‌رسد که دارای طول ۵/۷۳ متر در خط مرکزی است. در پلان بخش مستقیمی به طول ۳ متر در پایین دست پیچ، جریان را به حوضچه تهشیینی رسوب و سپس به حوضچه خروجی هدایت می‌کند.

برای اندازه‌گیری سرعت از دستگاه ADVP استفاده شد (شکل ۲). این دستگاه دارای انتشاردهنده مرکزی^۵ و چهار چهار گیرنده^۶ است که در درون جعبه‌ای پر از آب قرار گرفته و بر روی بازویی حمل کننده قرار گرفته است.

5. Central emitter
6. Reciever

که C_2 برابر ۰/۹ است. مطالعات بسیاری بر روی اندازه‌گیری و تعیین تنش‌برشی بستر انجام شده که بیشتر آنها برای کanal‌های مستقیم است. قوش^۱ (۱۹۷۰)، تنش‌برشی بستر را در کanal ذوزنقه‌ای مستقیم به وسیله لوله پرستون اندازه‌گیری کرد. نایت^۲ و همکاران (۱۹۸۴)، به بررسی تنش‌برشی بستر در کanal‌های مستقیم مستطیلی پرداختند. محمدی و نایت (۲۰۰۴)، به بررسی توزیع تنش‌برشی بستر در کanal مستقیم ۷ شکل پرداخته و برای تنش‌برشی متوسط بر روی دیواره و کف روابطی را ارائه کردند. پاسکال و همکاران (۲۰۰۴) به بررسی روش‌های مختلف تعیین تنش‌برشی بستر با اندازه‌گیری جریان به وسیله ADV در کanal مستقیم پرداختند و نتیجه‌گیری کردند که روش لگاریتمی تخمين بالايي از تنش‌برشی بستر را نسبت به سایر روش‌ها به دست می‌دهد و تعیین تنش‌برشی بستر از تنش رینولدز مناسب‌ترین روش به نظر می‌رسد. همچنین تعیین تنش‌برشی بستر از پروفیل لگاریتمی دارای تخمين بيش از ديگر روش‌ها است. زراتی و همکاران (۲۰۰۸)، مدلی نيمه‌تحليلى را برای توزیع تنش‌برشی بستر در کanal مستقیم ارائه کردند. باقری و لمین^۳ (۲۰۰۸) به تخمين تنش‌برشی بستر در کanal مستقیم با استفاده از^۴ ADVP و Hot-film در کanal با بستر شنی پرداختند و نتیجه‌گیری کردند که روش تنش رینولدز نتایج مناسبی را ارائه می‌دهد. همچنین نتیجه‌گیری کردند که روش TKE دارای تخمين كمتری بوده و روش لگاریتمی دارای تخمين بالايي است. به حال در آزمایش مذکور کanal مورد آزمایش مستقیم بوده و جریان عرضی قدرتمندی شبیه به جریان

1. Ghosh

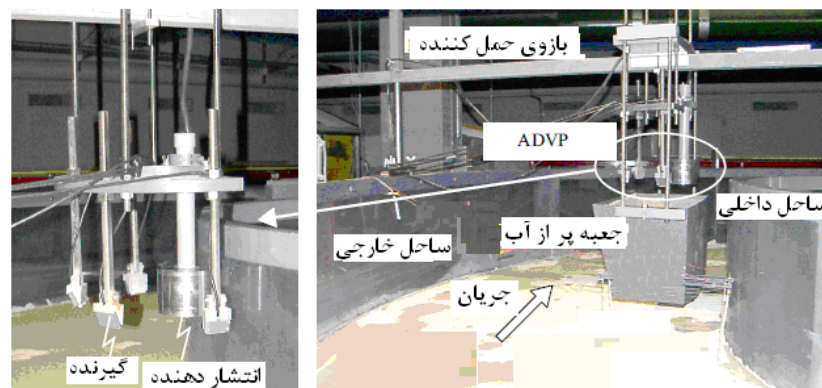
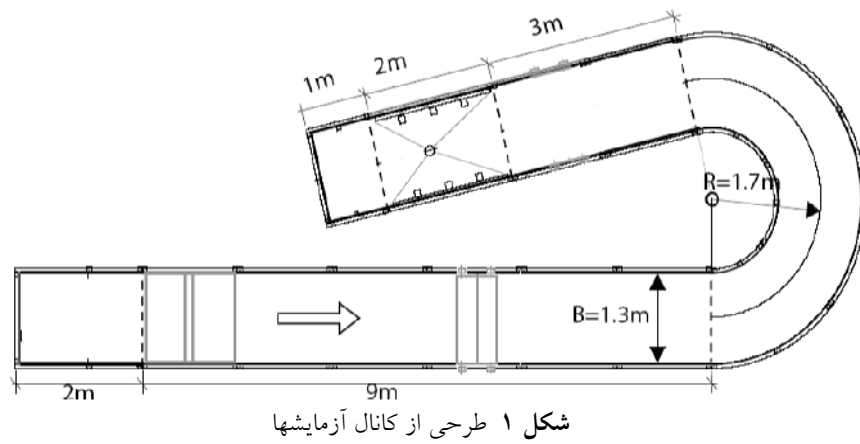
2. Knight

³. Bagheri & Lemin

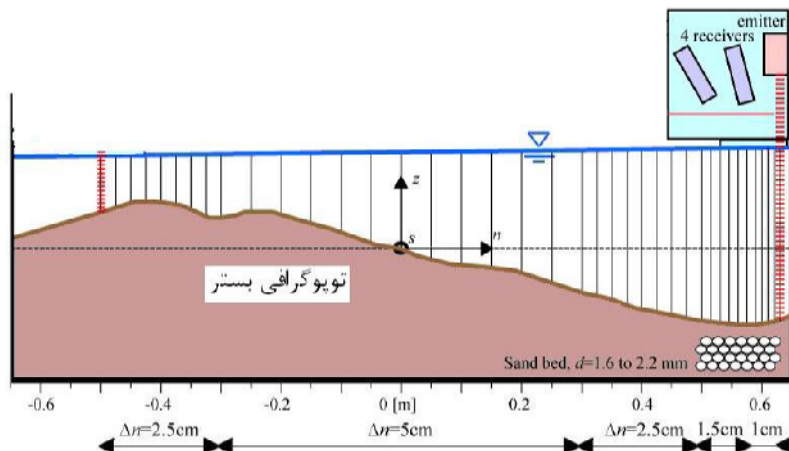
4. Acoustic Doppler Velocimeter Profiler

سرعت انجام شد. به وسیله این دستگاه سرعت‌های لحظه‌ای $\bar{v}(t) = (u, v, w)(t)$ اندازه‌گیری می‌شود که با استفاده از آن‌ها می‌توان سرعت‌های متوسط و تنش‌های رینولوز را تعیین کرد. اندازه‌گیری سرعت در درون پیچ در ۱۶ مقطع عرضی، ۰، ۱۵، ۳۰، ۴۵، ۶۰، ۷۰، ۸۰، ۹۰، ۱۰۰، ۱۱۰، ۱۲۰، ۱۳۵، ۱۵۰، ۱۶۵، ۱۸۰ و ۱۹۳ درجه، در بخش مستقیم بالا دست در ۰/۵ و ۲/۵ متر از ابتدای خم و در بخش مستقیم پایین دست در ۰/۵، ۱، ۱/۵ و ۲ متر از انتهای خم انجام شد.

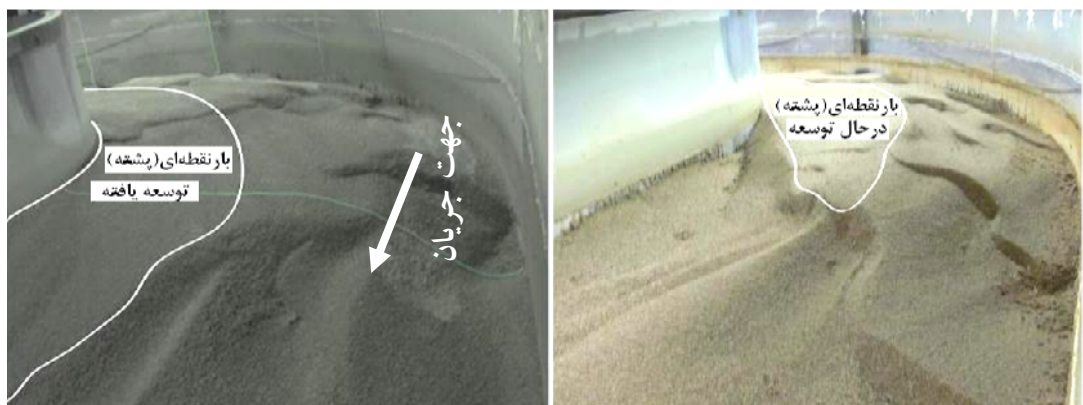
دستگاه ADVP عملکردی شبیه به ADV داشته و مزیت خاصی نسبت به آن ندارد، با این تفاوت که دستگاه ADV به صورت نقطه‌ای سرعت را برداشت می‌کند و باید برای برداشت پروفیل سرعت، در عمق حرکت داده شود، اما دستگاه ADVP در سطح آب قرار می‌گیرد و در هر بار اندازه‌گیری، پروفیل سرعت را در ستون عمودی آب برداشت می‌کند. به وسیله بازوی حمل کننده جریان (شکل ۲)، دستگاه می‌تواند در عرض و در طول کanal حرکت کرده و در مکان مورد نظر قرار بگیرد. اندازه‌گیری‌ها با فرکانس ۳۱/۲۵ Hz و در حدود ۱۸۰ ثانیه برای هر پروفیل



شكل ۲ دستگاه اندازه‌گیری ADVP



شکل ۳ شبکه اندازه‌گیری در مقاطع عرضی



شکل ۴ توسيعه بار نقطه‌ای (پيش از توسيعه و پس از توسيعه كامل)

رسوبهای ورودی و خروجی تعادل برقرار می‌شود، بار نقطه‌ای در بخش ساحل داخلی کاملاً گسترش یابد. شکل ۴ بار نقطه‌ای را در دو حالت: در حال گسترش و گسترش یافته نشان می‌دهد. پس از به تعادل رسیدن بستر، بار نقطه‌ای ثبیت شده است. دیون‌ها از نظر تعداد ثابت مانده، اما از نظر مکان، جایگاه ثابتی نداشته و در حرکت بودند، به طوری که پس از گذشت حدود ۱۵ دقیقه، همان الگوی قبلی تکرار می‌شد.

با توجه به تغییرات سریع جایگاه دیون‌ها، امکان اندازه‌گیری با کف متحرک وجود نداشته و در نتیجه،

شبکه اندازه‌گیری در مقاطع عرضی در شکل ۳ نشان داده است. دراین شکل، Δn فاصله عرضی بین مکان‌های اندازه‌گیری شده است.

برای انجام آزمایشها، پس از آماده‌سازی کanal و ایجاد سطح افقی با رسوبها، دبی ۶۳ لیتر بر ثانیه در کanal برقرار شد. رسوبها به وسیله تغذیه‌کننده رسوب^۱ از بالا دست به کanal وارد شده و پس از انتقال به پایین دست، به وسیله جریان در حوضچه ترسیب ریخته شده و به صورت دستی جمع آوری می‌شد. جریان به مدت ۳ هفتۀ ادامه داشت تا کف به وضعیت تعادل برسد و علاوه بر اینکه بین

1. Feeder

مرکزی سرعت در ورودی پیچ در مرکز مقطع عرضی قرار نگیرد. شش دیون در داخل پیچ دیده می‌شود. عمیق‌ترین بخش در مقطع عرضی ۷۰ درجه بوده و همان حوضچه^۴ است. در همان مقطع عرضی، بیشترین ارتفاع بار نقطه‌ای قابل مشاهده است. این شکل، توپوگرافی نمونه دارای حوضچه و بار نقطه‌ای را نشان می‌دهد.

در این پیچ تند، بیشینه عمق جریان در حدود $\frac{3}{5}$ برابر عمق متوسط جریان در کanal است. یک بار نقطه‌ای در نیمه داخلی مقطع عرضی و یک حوضچه در ساحل خارجی توسعه یافته است. حوضچه در حدود نیمی از عرض را در مقطع ۷۰ درجه پوشش می‌دهد. شبیب عرضی دراین مقطع در حدود ۳۱ درجه بوده و مقدار بیشینه آن از زاویه تعادل رسوب بیشتر است که نشان‌دهنده وجود نوعی نیروی عرضی قوی رو به سمت ساحل داخلی است. پایین‌دست مقطع عرضی ۹۰ درجه، شبیب عرضی بستر تغییرات کمتری را در عرض نشان می‌دهد و شکل مقاطع عرضی تقریباً خطی می‌شود.

۱-۱- اندازه‌گیری تنش‌برشی بستر

یکی از روش‌های اندازه‌گیری تنش‌برشی بستر، استفاده از تشن‌های برشی رینولدز است. در کanal‌های مستقیم، تشن‌برشی رینولدز از سطح آب به سمت بستر جریان افزایش و در نزدیکی بستر کاهش می‌یابد. پاسکال (۲۰۰۴) نشان داد که این روش یکی از بهترین روش‌ها برای اندازه‌گیری تشن‌برشی بستر است. شکل ۶ یکی از آزمایش‌های وی را نشان می‌دهد که با بروندیابی از نقطه بیشینه تشن رینولدز تا بستر، میزان تشن‌برشی بستر تعیین می‌شود. شکلهایی شبیه به شکل ۶، در آزمایشها باقی‌ولمین (۲۰۰۸) به‌دست آمد که نشان‌دهنده افزایش تشن‌برشی رینولدز از سطح آب تا نزدیکی کف است.

رسوبهای بستر با موادی به نام داکفیل^۱ منجمد شد تا بتوان اندازه‌گیری‌ها را انجام داد. این ماده با آب مخلوط شده و بر روی بستر پاشیده می‌شود. یک هفته برای خشک شدن آن زمان لازم است و اثری بر زیری نمی‌گذارد به‌طوری‌که دانه‌های رسوب، به‌خوبی مشاهده می‌شود.

برای اندازه‌گیری توپوگرافی کف، از دستگاه لیزری اندازه‌گیری فاصله استفاده شده و ارتفاع توپوگرافی از لبه بالایی کanal اندازه‌گیری شد. برای این کار در طول کanal، در بخش مستقیم بالا دست در هر ۲۵ سانتی‌متر و در پایین‌دست در هر ۱۰ سانتی‌متر و در پیچ در هر ۱۰ درجه اندازه‌گیری‌ها انجام شد. در مقاطع عرضی به فواصل ۵ سانتی‌متر اندازه‌گیری انجام شد. همچنین سطح آب به‌وسیله دستگاه اندازه‌گیر نقطه‌ای^۲ در همان فواصل و در مقاطع عرضی نیز در ۸ نقطه اندازه‌گیری شد. در جدول ۱ مشخصات جریان در شرایط تعادل کف کanal ارائه شده، که Q بده مورد استفاده، H عمق متوسط جریان در کanal، R_۰ شعاع انحنای خط مرکزی کanal، R عدد رینولدز، U سرعت متوسط و B عرض کanal است. دبی قبل از انجماد بستر، همان دبی مورد استفاده پس از انجماد است که در جدول ۱ آورده شده است.

۳- نتایج و بحث

همان‌طور که گفته شد توپوگرافی بستر با دستگاه لیزری اندازه‌گیری ارتفاع و تغییرات سطح آب با اشل نقطه‌ای اندازه‌گیری شد. در شکل ۵ توپوگرافی بستر نشان داده شده است. دراین شکل، دیون‌ها^۳ در ساحل خارجی پیچ قابل مشاهده است. در بخش ورودی پیچ، به‌دلیل توزیع غیریکنواخت رسوبها از تغذیه کننده رسوب، بخش داخلی مقطع عرضی عمیق‌تر بوده و سبب می‌شود که هسته

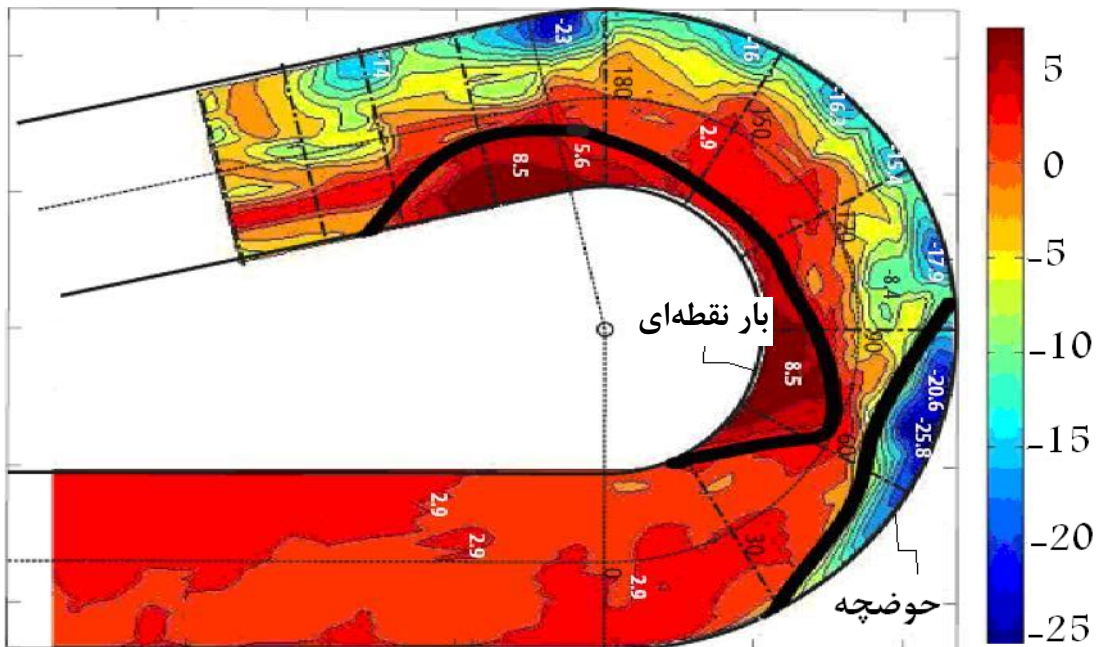
1 Dakfill

2. point gauge

3. Dunes

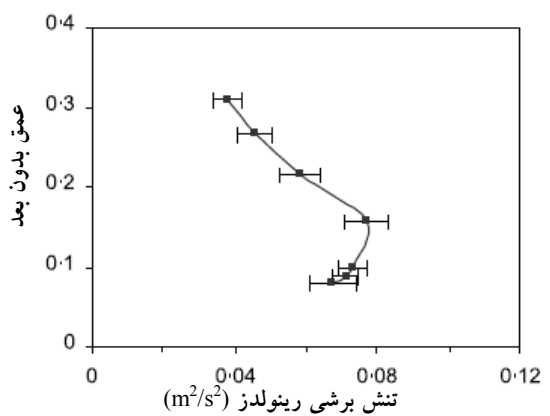
جدول ۱ مشخصات جریان

| $Q[\text{ls}^{-1}]$ | $H[\text{m}]$ | $U[\text{ms}^{-1}]$ | $u^* [\text{ms}^{-1}]$ | S_f | Re | Fr | R_c/B | R_c/H | B/H |
|---------------------|---------------|---------------------|------------------------|-------|-------|------|---------|---------|-------|
| 53 | 0.098 | 0.49 | 0.056 | 0.004 | 43000 | 0.0 | 1.31 | 17 | 13 |



شکل ۵ توپوگرافی توسعه یافته برای جریان ۶۳ لیتر بر ثانیه

البته در نزدیکی بستر در حدود ۱۰ درصد پایین عمق، دستگاههای ADV اندازه‌گیری صحیحی ندارند و در حالی که باید افزایش را در تنش برشی رینولذ نشان دهنند، کاهش نشان داده یا دچار بی نظمی می‌شوند. شکل ۷ دو نمونه از پروفیلهای تنش برشی رینولذ $W^{\prime}u$ -Ra نشان می‌دهد. همان‌طور که دیده می‌شود، شکل ۷-الف، به طور کامل روند کاهشی را به سمت کف نشان می‌دهد و کاملاً متفاوت با روند افزایشی الگوی تنش رینولذ در جریان دو بعدی است. شکل ۷-ب، در آغاز روند افزایشی به سمت کف را تا حدود ۷٪ عمق نشان می‌دهد و سپس روندی کاهشی را به سمت کف نشان می‌دهد. شکل ۸

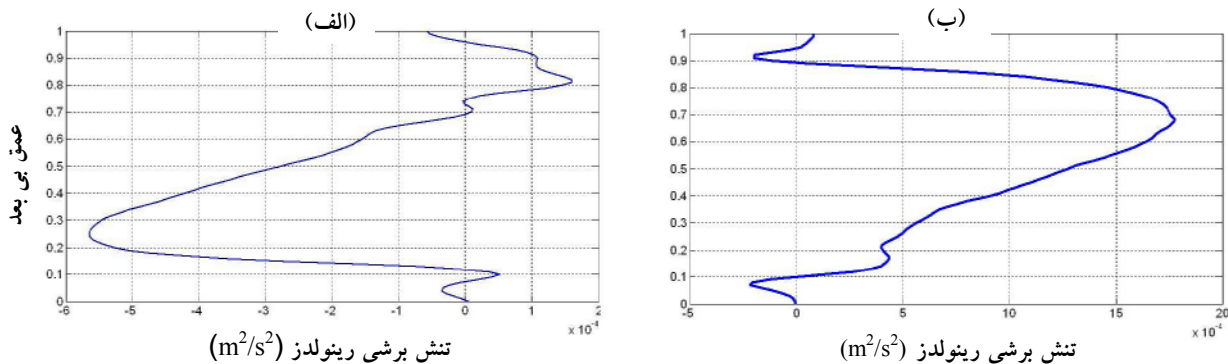


شکل ۶ تغییرات تنش برخی رینولدز در یکی از آزمایش‌های پاسکال (پاسکال ۲۰۰۴)

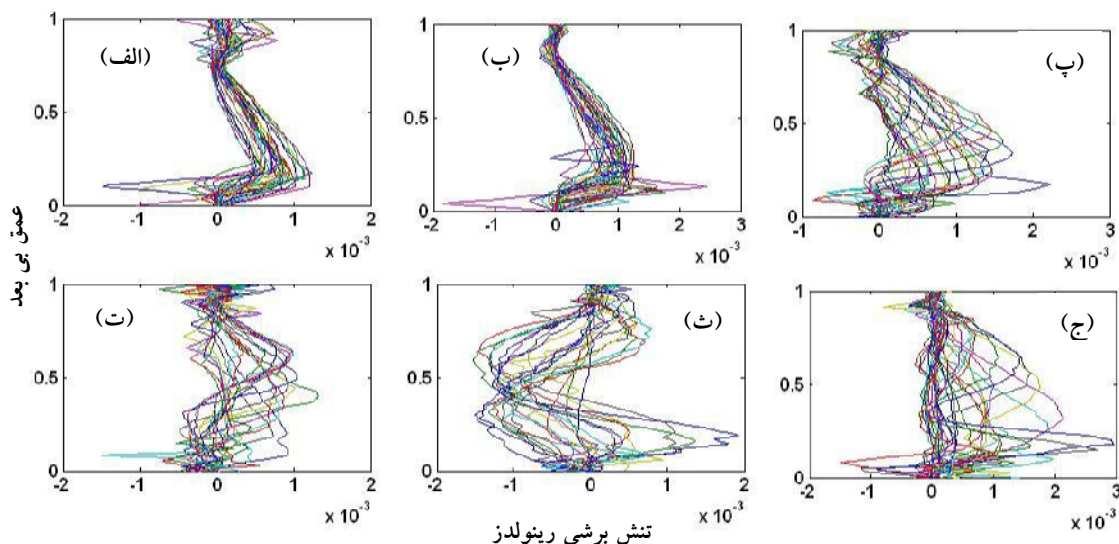
استفاده از آن برای تعیین تنش‌برشی بستر وجود خواهد داشت.

شکل ۸ ب (مقطع ۳۰ درجه) نیز نشان می‌دهد که هنوز الگوی تنش‌برشی رینولدز به سمت کف دارای نظم مشخصی بوده و افزایش می‌یابد. پروفیل‌های تنش‌برشی رینولدز در مقطع ۴۵ درجه نظم خود را تا حدودی از دست می‌دهند، که این نشان‌دهنده تأثیر جریان سه‌بعدی قوی در این مقطع بر تنش رینولدز است.

پروفیل‌های $\overline{u'w'}$ - را در مقاطع عرضی ۰، ۳۰، ۴۵، ۶۰ و ۹۰ درجه نشان می‌دهد. در شکل ۸-الف (مقطع صفر درجه)، مشاهده می‌شود که با توجه به اینکه جریان در ورودی خم بوده و هنوز تحت تأثیر خم قرار نگرفته است، پروفیل‌های تنش رینولدز الگوی بسیار منظمی برای تعیین تنش‌برشی بستر دارند و با افزایش به سمت کف، در نزدیکی کف شروع به کاهش می‌کنند. بنابراین، امکان



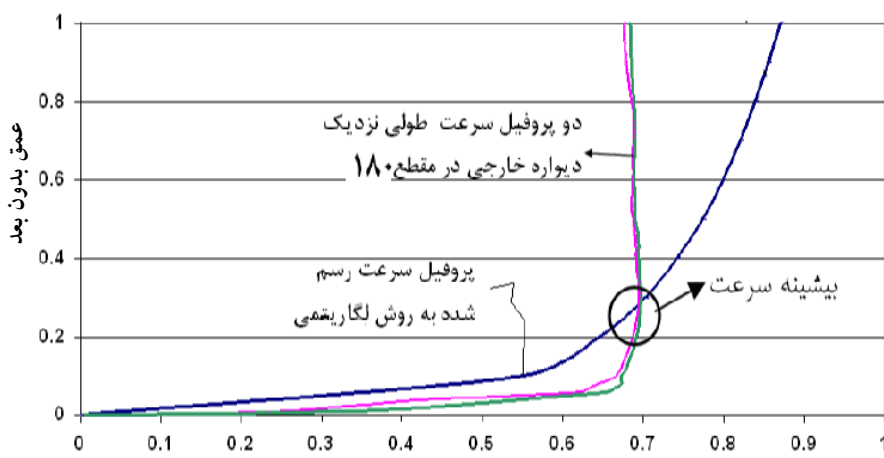
شکل ۷ دو نمونه پروفیل تنش‌برشی رینولدز $\overline{u'w'}$ -: الف- مقطع عرضی ۹۰ درجه و ب- مقطع عرضی ۱۲۰ درجه



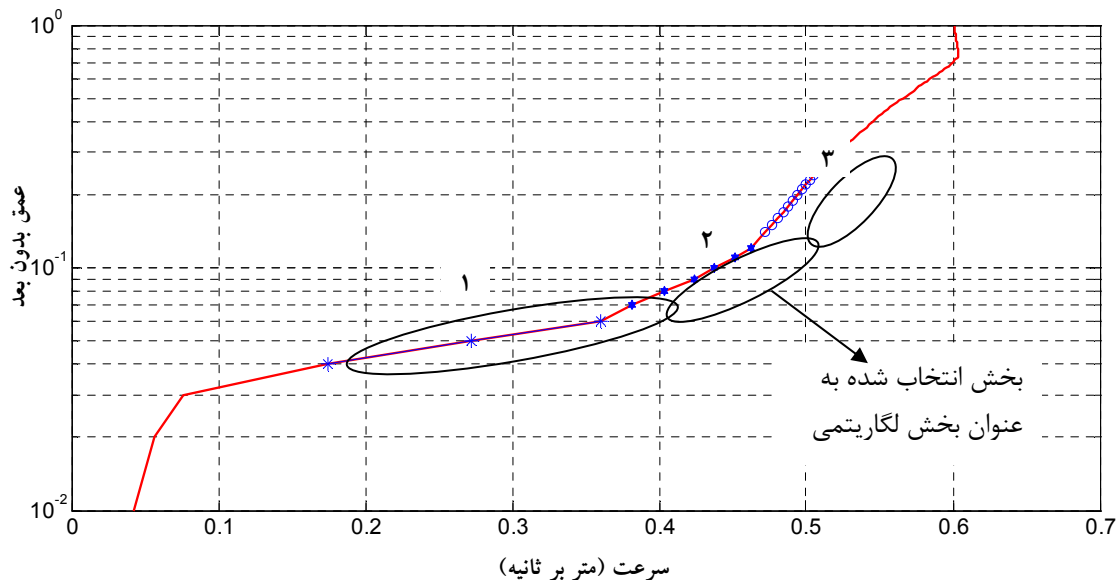
شکل ۸ پروفیل‌های $\overline{u'w'}$ - در مقاطع عرضی الف- ۰، ب- ۳۰، پ- ۴۵، ت- ۶۰، ث- ۹۰ و ج- ۱۵۰ درجه

سلول جریان ثانویه بر پروفیل‌های سرعت طولی است. بنابراین با توجه به شکل ۹، پروفیل‌های سرعت از شکل لگاریتمی فاصله می‌گیرند. همچنین، پروفیل‌های سرعت در بخش‌هایی، از جمله در جلوی دیون‌ها می‌توانند سرعت منفی نیز داشته باشند. به حال، برای تعیین تنش‌برشی بستر از پروفیل لگاریتمی در جریان یکنواخت کanal مستقیم، می‌توان یک بخش لگاریتمی را در ۲۰ درصد پایینی جریان مشاهده کرد، اما در پیچ، بخش لگاریتمی با توجه به جریان ثانویه قوی و تأثیر آن بر پروفیل سرعت-همیشه در حدود عمق ۲۰ درصدی نبوده و مکان آن در عمق تغییر می‌کند. بنابراین، برای تعیین تنش‌برشی بستر، باید بخش لگاریتمی سرعت را در مقطع عرضی آورد. شکل ۱۰ نمونه پروفیل سرعت را در مقطع عرضی ۱۵۰ درجه نشان می‌دهد. همان‌طور که مشاهده می‌شود در نواحی بین ۰/۰۳ تا ۰/۰۶ عمق، بین ۰/۰۶ تا ۰/۱۳ عمق و بین ۰/۱۳ تا ۰/۲۵ عمق، سه خط مستقیم با شبکهای متفاوت وجود دارد که سرعت‌های برشی متفاوتی را ارائه می‌کنند.

در مقاطع ۹۰ و ۱۵۰ نیز پروفیل‌های تنش‌برشی رینولذز، نظم مشخصی نداشته و تعداد زیادی از آنها به سمت کف کاهش یافته و تعدادی نیز منفی است. به حال، الگوهای تنش‌های رینولذز در پیچ، نسبت به کanal مستقیم، کاملاً تغییر کرده و به جای اینکه از سطح آب به سمت کف افزایش یابند، نظم مشخصی را نشان نمی‌دهند. روش دیگر تعیین تنش‌برشی بستر، استفاده از پروفیل لگاریتمی است. در جریان یکنواخت کanal‌های مستقیم، پروفیل سرعت طولی در ۲۰ درصد پایینی پروفیل، لگاریتمی بوده و با استفاده از قانون لگاریتمی سرعت می‌توان تنش‌برشی بستر را به دست آورد. پاسکال (۲۰۰۴) و باقری (۲۰۰۸) نشان دادند که پروفیل لگاریتمی در کanal مستقیم تنش‌برشی بستر را بیشتر از روش تنش رینولذز نشان می‌دهد. بررسی‌ها در پیچ کanal نشان می‌دهد که پروفیل جریان، یکنواخت‌تر از پروفیل لگاریتمی است. دلیل این امر، وجود جریان ثانویه قوی و باز خورد این جریان با جریان طولی است (شکل ۹). دوریند (۱۹۸۱) و بلانکارت (۲۰۰۲)، بیان کرده‌اند که تغییر و یکنواخت‌تر شدن پروفیل سرعت ناشی از تأثیر



شکل ۹ مقایسه پروفیل‌های سرعت طولی با پروفیل رسم شده به روش لگاریتمی



شکل ۱۰ پروفیل لگاریتمی یکی از پروفیل‌های سرعت

که d_{50} قطر متوسط رسوبها است. سرعت برشی بخش یک شکل ۱۰ برابر $0.18 \text{ متر بر ثانیه}$ است، اما سرعت برشی به دست آمده از رابطه ۷ در حدود $0.38 \text{ متر بر ثانیه}$ است، یعنی سرعت برشی بخش یک، اختلاف بزرگی با سرعت برشی به دست آمده از رابطه ۷ دارد و قابل قبول نیست.

در مورد انتخاب سرعت برشی از بین بخش ۲ و بخش ۳، با توجه به نزدیکی سرعت برشی به دست آمده از این دو بخش، یکی از آنها را به دلخواه در توزیع سرعت برشی مقطع عرضی قرار داده، در نتیجه توزیع سرعت برشی به دست آمده باید الگویی شبیه به الگوی توزیع سرعت متوسط‌گیری شده در عمق داشته باشد. اگر تفاوت این دو الگو زیاد باشد، باید بخش در نظر گرفته شده برای سرعت برشی را تغییر داد. شکل ۱۱ توزیع الگوی سرعت متوسط‌گیری شده در عمق و توزیع سرعت برشی به دست آمده از روش لگاریتمی را نشان می‌دهد.

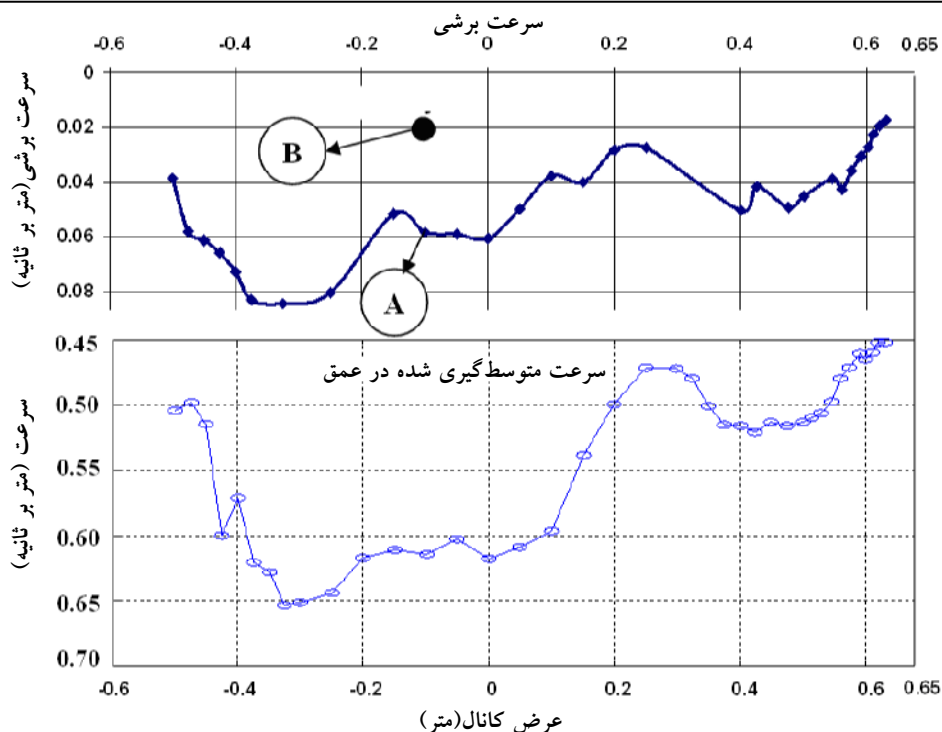
سرعت برشی به دست آمده از بخش ۱ برابر $0.18 \text{ متر بر ثانیه}$ است. دیده می‌شود که سرعت برشی بخش سوم در حدود $\frac{1}{9}$ بخش اول و $\frac{1}{3}$ بخش دوم است. بهر حال، تعیین این که کدام یک از سرعت‌های برشی به دست آمده صحیح است، به بررسی نیاز دارد. برای این کار می‌توان از رابطه سرعت برشی با سرعت استفاده کرد:

$$u_* = (\sqrt{g}/C)\bar{u} \quad (7)$$

که در آن رابطه C ضریب شزی متوسط مقطع عرضی و \bar{u} سرعت متوسط‌گیری شده در عمق است. از این رابطه با توجه به ثابت نبودن ضریب شزی نمی‌توان به طور مستقیم تنش برشی بستر را برای هر پروفیل به دست آورد، اما سرعت برشی به دست آمده نباید اختلاف بزرگی با سرعت به دست آمده از رابطه ۷ داشته باشد.

ضریب شزی متوسط مقطع عرضی عبارت است از:

$$C = 21.1(R/d_{50})^{1/6} \quad (8)$$



شکل ۱۱ توزیع تنش‌برشی بستر و سرعت متوسط‌گیری شده در عمق برای مقطع عرضی ۱۵۰ درجه

در این بخش برای مقایسه روش‌های تعیین تنش‌برشی بستر، چهار روش درنظر گرفته می‌شود. شکل ۱۲، توزیع سرعت‌برشی به دست آمده با این چهار روش را نشان می‌دهد که عبارتند از:

- ۱-پروفیل لگاریتمی
- ۲-روش TKE

۳-تنش‌برشی رینولدز (روش نقطه‌ای): از تنش‌برشی رینولدز در یک نقطه نزدیک کف برای تعیین تنش‌برشی بستر استفاده می‌شود.

۴-تنش‌برشی رینولدز (روش بیشینه): به جای برونویابی از بخش بیشینه تنش‌برشی رینولدز تا کف برای تعیین تنش‌برشی بستر، از بیشینه تنش‌برشی رینولدز به عنوان تنش‌برشی بستر استفاده می‌شود.

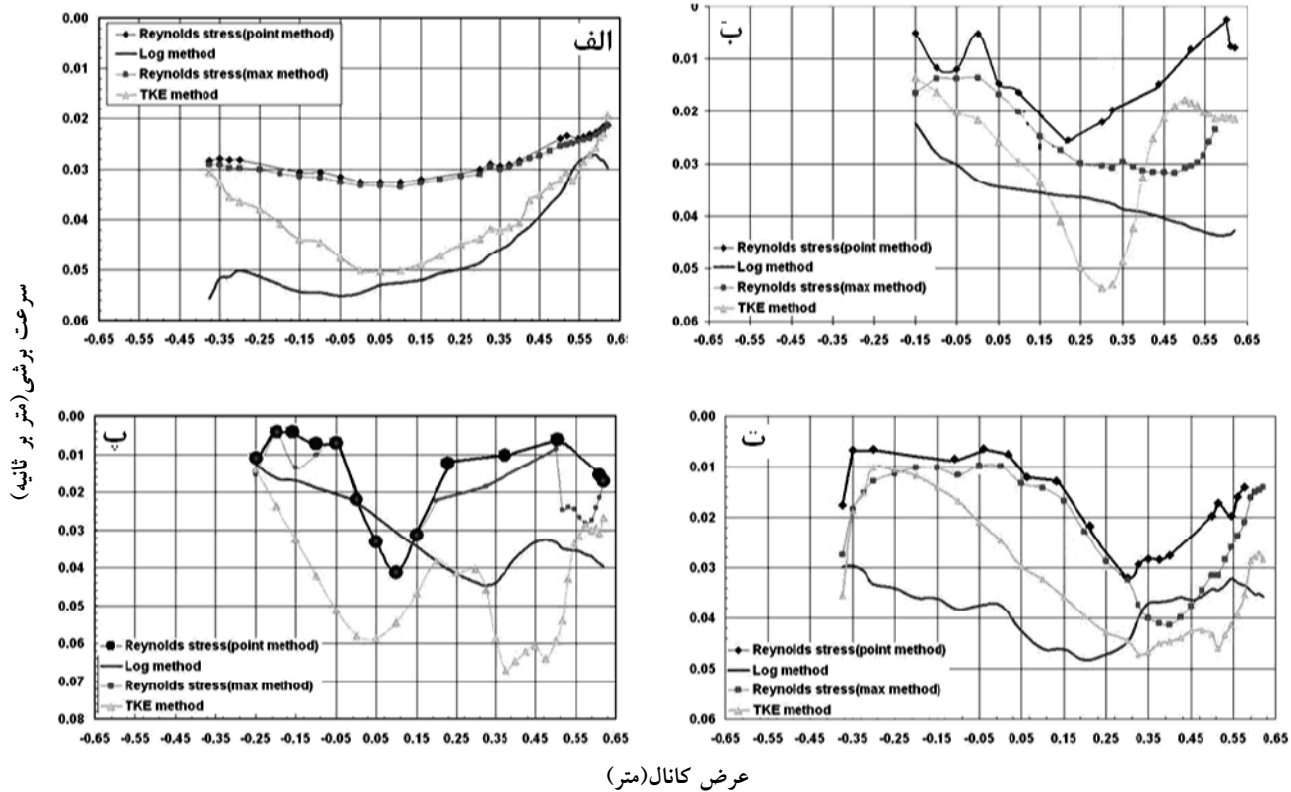
برای استفاده از روش TKE و روش نقطه‌ای تنش رینولدز، از مقادیر تنش رینولدز در ۰/۱۵ عمق جریان از

پروفیل سرعت در شکل ۱۰، در مکان ۱-عرض در شکل ۱۱ قرار دارد. دیده می‌شود که برای رعایت شباهت بین الگوی توزیع سرعت متوسط‌گیری شده در عمق و توزیع سرعت‌برشی، مقدار ۰/۰۵۸ (بخش دوم شکل ۱۰)، به عنوان سرعت‌برشی انتخاب شده که با نام نقطه A در شکل ۱۱ نشان داده شده است. نقطه B در شکل ۱۱ نیز سرعت‌برشی بخش سوم شکل ۱۰ است که انتخاب آن - علاوه بر اینکه سبب می‌شود توزیع سرعت‌برشی از توزیع سرعت متوسط‌گیری شده در عمق فاصله بگیرد - اختلاف بزرگی را نیز با سرعت‌های برشی اطراف خود ایجاد می‌کند. در مجموع، با آن که سرعت‌برشی به دست آمده از رابطه ۷، به سرعت‌برشی بخش سوم شکل ۱۰ نزدیکتر است، اما انتخاب بخش دوم سبب می‌شود که الگوی سرعت‌برشی شباهت خود را با الگوی سرعت متوسط‌گیری شده در عمق حفظ کند.

به دست آمده از روش لگاریتمی را در برابر دیگر روش‌ها در مقطع عرضی صفر درجه نشان می‌دهد. بر طبق این شکل، روش لگاریتمی، سرعت برشی بالاتری را به دست می‌دهد. همچنین مقادیر توزیع تنش برشی بستر به دست آمده از روش TKE به روش لگاریتمی نزدیکتر است.

شکل ۱۲-ب، توزیع سرعت برشی به دست آمده را در مقطع عرضی ۶۰ درجه نشان می‌دهد. برای بخش‌هایی که تنش برشی رینولدز منفی دارند، مقدار $|u'w'|$ در نظر گرفته می‌شود. در این شکل ناتوانی روش نقطه‌ای تنش برشی رینولدز در تعیین درست تنش برشی قابل مشاهده است، به طوری که در نزدیکی ساحل خارجی -که بیشترین سرعت طولی وجود دارد (شکل ۱۴-الف)- این روش حداقل مقدار تنش برشی را به دست داده است.

بستر استفاده می‌شود. شکل ۱۲-الف، توزیع سرعت برشی را در مقطع عرضی صفر درجه نشان می‌دهد. مشاهده می‌شود که همانند تحقیقات قبلی (پاسکال ۲۰۰۴) و باقری (۲۰۰۸)، سرعت برشی به دست آمده از روش لگاریتمی بیشترین مقدار است. همچنین، در این مقطع، تنش‌های رینولدز دارای الگوی کanal مستقیم بوده و به سمت کف افزایش می‌یابد و در نتیجه توزیع‌های تنش برشی بستر مرتبط با تنش‌های رینولدز نتایجی تقریباً شبیه به توزیع لگاریتمی ارائه می‌دهند. قابل ذکر است که افزایش سرعت برشی از دیواره خارجی به سمت دیواره داخلی، به دلیل افقی نبودن کف در مقطع عرضی صفر درجه و در نتیجه تمایل هسته بیشینه سرعت به سمت دیواره داخلی است. شکل ۱۳-الف، سرعت برشی



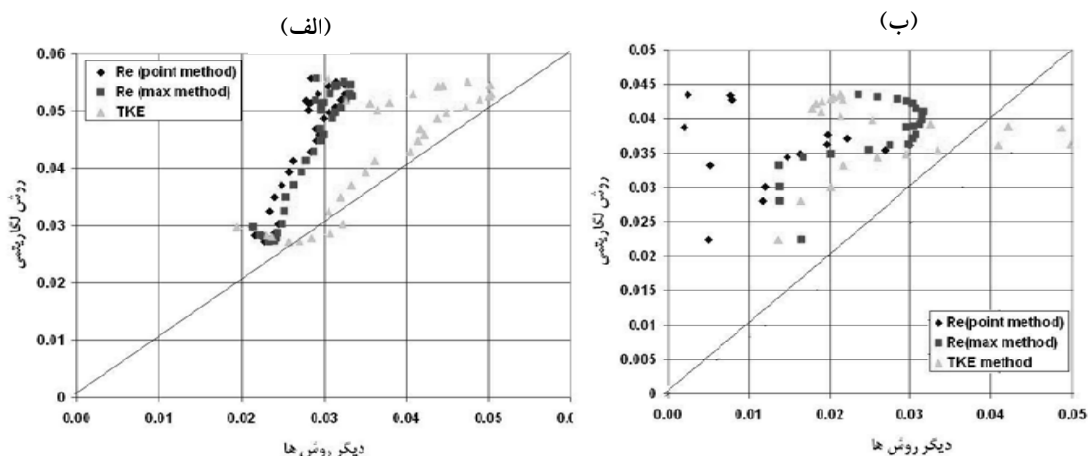
شکل ۱۲ تنش برشی بستر به دست آمده از چهار روش در مقاطع عرضی: الف- صفر درجه، ب- ۶۰ درجه، پ- ۹۰ درجه و ت- ۱۲۰ درجه

درجه را نشان می‌دهد، در $n=+0/3$ هسته بیشینه سرعت در نزدیک کف قرار دارد و بنابراین تنش برشی باید افزایش یابد، درصورتی که شکل ۱۲-پ نشان می‌دهد که تنش برشی به دست آمده از روش‌های وابسته به تنش رینولذز، مقدار کمینه خود را در این مکان ارائه می‌دهد. این نشان‌دهنده ناتوانی روش‌های تنش رینولذز در تعیین درست تنش برشی است.

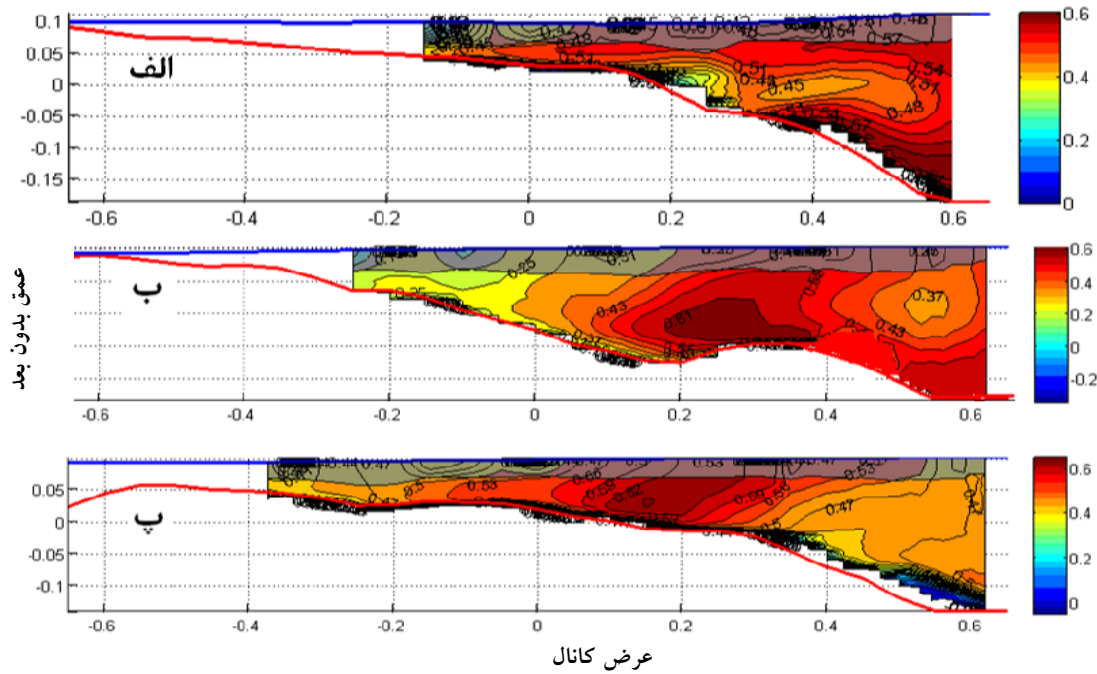
در شکل ۱۲-ت، توزیع‌های تنش برشی بستر به دست آمده، نزدیکی بیشتری به یگدیگر دارند. با وجود این به نظر می‌رسد که تغییر تنش برشی بستر نسبت به تنش‌های رینولذز در بعضی از بخش‌ها قابل توجیه نبوده و با الگوی جریان طولی همخوانی نداشته باشد. در شکل ۱۴-پ، بیشینه سرعت در نزدیکی کف در $n=+0/2$ قرار داشته و به سمت ساحل خارجی، سرعت جریان در نزدیکی کف کاهش می‌یابد، درحالی‌که سرعت برشی به دست آمده از روش TKE و تنش برشی رینولذز برای مقطع عرضی $+0/2$ درجه، نشان‌دهنده افزایش تنش برشی بستر از مکان $n=+0/2$ تا نزدیکی ساحل خارجی است.

روش‌های نقطه‌ای تنش برشی رینولذز و TKE، توزیع تنش برشی بستر مناسبی را ارائه نمی‌کنند و همچنین الگویی بدون نظم مشخص و متفاوت با روش لگاریتمی و در نتیجه با الگوی سرعت متوسط‌گیری شده در عمق دارند. الگوی توزیع سرعت برشی باید تا حدودی به الگوی سرعت متوسط‌گیری شده در عمق شباهت داشته باشد. همچنین در روش استفاده از بیشینه تنش برشی رینولذز، ممکن است مقدار بیشینه تنش رینولذز، به جای نزدیک کف در بخش بالایی عمق جریان قرار داشته باشد، که در این صورت، مقدار بیشینه تنش برشی رینولذز نمی‌تواند معرف تنش برشی بستر باشد.

شکل ۱۳-ب مقادیر به دست آمده برای سرعت برشی لگاریتمی را در برابر سه روش دیگر در مقطع عرضی $+0/60$ درجه نشان می‌دهد. دیده می‌شود که این مقادیر پراکنده‌گی زیادی نسبت به شکل ۱۳-الف -که در مقطع صفر درجه است- دارند. شکل ۱۲-پ نشان می‌دهد که روش تنش برشی رینولذز و روش TKE توزیع کاملاً متفاوتی را نسبت به روش لگاریتمی به دست می‌دهند. بر طبق شکل ۱۴-ب که توزیع الگوی جریان طولی در مقطع عرضی $+0/90$



شکل ۱۳ سرعت برشی به دست آمده از روش لگاریتمی در برابر سه روش دیگر در مقطع عرضی: الف- صفر درجه و ب- 60° درجه



شکل ۱۴ الگوهای سرعت طولی در مقاطع عرضی الف-۰°، ب-۹۰° و پ-۱۲۰° درجه

دقیق تنش برشی بستر با استفاده از روش های تنش رینولدز را نشان می دهد. از سوی دیگر، جریان ثانویه قوی، الگوی پروفیل سرعت طولی را از پروفیل لگاریتمی متفاوت می سازد، به طوری که پروفیل سرعت طولی در درون پیچ، یکنواخت می شد که دلیل آن، تأثیرگذاری سولول مرکزی جریان ثانویه بر پروفیل طولی سرعت است. با وجود آن که پروفیل سرعت از پروفیل لگاریتمی فاصله می گیرد، اما می توان با یافتن بخش لگاریتمی پروفیل سرعت از آن، در تعیین تنش برشی بستر استفاده کرد. برای تعیین دقیق تر توزیع تنش برشی بستر از روش لگاریتمی، می توان از شباهت توزیع تنش برشی بستر با توزیع سرعت متوسط گیری شده در عمق استفاده کرد. در مجموع، توزیع های تنش برشی بستر به دست آمده از روش لگاریتمی نشان می دهد که این روش، جواب های بهتری را نسبت به روش های دیگر مورد بررسی به دست می دهد.

۴- نتیجه گیری

برای بررسی روش های تعیین تنش برشی در پیچ، از کanalی با پیچ تند استفاده شد تا مشخصات جریان سه بعدی را به خوبی نشان دهد. نتایج به دست آمده نشان داد که الگوی تنش برشی رینولدز بر اثر جریان قدرتمند سه بعدی کاملاً تغییر می کند و پروفیل های تنش برشی رینولدز، هیچ نظم مشخصی را نشان نمی دهند. در حالی که به نظر می رسد که تنش های برشی رینولدز باید به سمت کف و تا نزدیکی آن افزایش یابند، این تنش ها، گاهی به سمت کف کاهش و گاهی افزایش می یابند. روش TKE که از تنش های نرمال رینولدز استفاده می کند- معمولاً الگوی کاملاً متفاوتی را برای توزیع تنش برشی بستر، نسبت به توزیع سرعت متوسط گیری شده در عمق و توزیع تنش برشی بستر به دست آمده از روش لگاریتمی به دست می دهد. بنابراین بررسی ها، ناممکن بودن تعیین

Bagherimeyab, F., Albayrak, I., and Lemmin, U. (2008). "Bed shear velocity estimates in rough open channel flow obtained from Acoustic Doppler Velocity Profiler data and direct bed shear stress measurements", The River flow conference, Izmir, Turkey, pp. 151-159.

Blanckaert, K. (2002). "Flow and turbulence in sharp open channel bends", Ph.D. Thesis, Cole Polytechnique Federale de Lausanne, Switzerland.

Bridge, J. (1992). "A revised model for water flow, sediment transport, bed topography and grain size sorting in natural river bends", Water Resour. Res., 28(4):999-1013.

Chaudary, U., and Narasimhan, S. (1977). "Flow in 180° open channel rigid boundary bends", J. Hydr. Engr. ASCE, 103(6):651- 657.

De Vriend, H. (1977). "A mathematical model of steady flow in curved shallow channels", IAHR, J. Hydraulic Research, 15(1):37- 54.

De Vriend, H., (1981). "Velocity redistribution in curved rectangular channels", J. Fluid Mech. 107:423-439.

Duarte, A., (2008). "An Experimental Study on Main Flow, Secondary Flow and Turbulence in Open-Channel Bends with Emphasis on their Interaction with the Outer-Bank Geometry", Thesis, Ecole Polytechnique Federale de Lausanne, Switzerland.

Ghosh, S. and Roy, N. (1970). "Boundary shear distribution in open channel flow", Journal of Hydraulic Division., 96(4):967-994.

Johannesson, H. and Parker, G. (1989). "Velocity redistribution in meandering rivers", J. Hydr. Engr. ASCE, 115(8), pp.1019-1039.

Khosronejad, A., Rennie, C., Neyshabouri, S.A.A. and Townsend, R. (2007). "3D numerical modeling of flow and sediment transport in laboratory channel bends", J. Hydr. Engr. ASCE, 133(10), pp. 1123-1134.

Kim, S., Friedrichs, C. and Wright, L. (2000). "Estimating bottom stress in tidal boundary layer from Acoustic Doppler Velocimeter data", J. Hydr. Engr. ASCE, 126(6): 399-406.

Knight, D., Demetriou, J. and Hamed, M. (1984). "Boundary shear in smooth rectangular channels", J. Hydr. Engr. ASCE, 110(4):405- 422.

۵- سپاسگزاری

این تحقیق در دانشگاه EPFL لوزان انجام شده است. بدین‌وسیله از دکتر اشلایس و دکتر بلانکارت برای در اختیار قراردادن ابزار آزمایشگاهی و همچنین از قطب علمی ارزیابی و بهسازی شبکه‌های آبیاری و زهکشی بخاطر کمک‌های مالی شان تشکر و قدردانی می‌شود.

۶- فهرست علائم

| | |
|-------------------|----------------------------|
| B | عرض کanal |
| C | ضریب شزی |
| C_d | ضریب دراگ |
| g | شتاب ثقل |
| H | عمق متوسط جریان |
| Q | بلده |
| R | شعاع هیدرولیکی مقطع کanal |
| R_c | شعاع انحنای خط مرکزی کanal |
| R_e | عدد رینولدز |
| S_f | شیب انرژی |
| U | سرعت متوسط |
| u | سرعت در ارتفاع Z |
| u_* | سرعت برشی |
| u' | نوسانات سرعت طولی |
| w' | نوسانات سرعت عمودی |
| Z | ارتفاع بالای کف |
| Z_0 | مشخصه طول زبری |
| τ_0 | تنشی برشی کل |
| ρ | چگالی آب |
| $\overline{u'w'}$ | تنشی برشی رینولدز |

۷- منابع

منصوری، ا. (۱۳۸۵). «شبیه‌سازی سه بعدی تغییرات بستر در قوس ۱۸۰°»، پایان‌نامه کارشناسی ارشد، دانشگاه تربیت مدرس.

- Thomson, W. (1876). "On the origin of windings of rivers in alluvial plains, with remarks on the flow of water round bends in pipes", Proc. Royal Soc. London, 25, pp. 5–8.
- Van Balen, W., Blanckaert, K. and Uijttewaal, W. S. J. (2010). "Analysis of the role of turbulence in curved open-channel flow at different water depths by means of experiments, LES and RANS", Journal of Turbulence, 11(12), pp. 1-19.
- Wu, W., W., Rodi, and Wenka, T. (2000). "3D numerical modeling of flow and sediment transport in open channels", J. Hydr. Engr. ASCE, 126(1), pp. 4 –15.
- Zarrati , A. and Karimpour, S. (2004). "Semianalytical model for shear stress distribution in simple and compound open channels", J. of Hyd. Eng. 134(2):205-215.
- Zeng, J., Constantinescu, S.G. and Weber, L. (2008). "A 3D non-hydrostatic model to predict flow and sediment transport in loose bed channel bends", J. Hyd. Res., 46(3), pp. 356– 372.
- Zimmerman, C. (1977). "Roughness effect on the flow direction near curved stream beds" , J. of Hydraulic Research, 15(1):73– 84.
- Mohammadi, M. and Knight, D. (2004)."Boundary shear stress distribution in a V-shaped channel", Hydraulics of Dams and River Structures, Taylor & Francis Group, London.
- Nezu, I. and H., Nakagawa, (1993), "Turbulence in Open Channel Flows", Balkema, Rotterdam, The Netherlands.
- Odgaard, A. and Bergs, M. (1988). "Flow processes in a curved alluvial channel", Water Resour. Res., 24(1), pp. 45–56.Pascale, M., Robson, C. and Lapointe, M. (2004). "Comparing different methods of bed shear stress estimates in simple and complex flow fields", Earth Surf. Process. Landforms 29(11):1403–1415.
- Rozovskii, I.L. (1957). "Flow of water in bends of open channels", Academy of Sciences of the Ukrainian SSR, Kiev.
- Ruther, N., and Olsen N. R. (2005). "3D modeling of sediment transport in a narrow 90° channel bend", J. Hydr. Engr. ASCE, 131(10), pp. 917–920.
- Schlichting H., (1987). "Boundary Layer Theory", McGraw-Hill: New York.